

Beiträge zur Kenntnis der Radioaktivität der Mineralquellen Tirols

(IV. Mitteilung)¹

von

Max Bamberger und Karl Krüse.

Aus dem Laboratorium für anorganische Chemie an der k. k. Technischen Hochschule in Wien und aus dem Physikalischen Kabinett des k. k. Reformrealgymnasiums in Bozen.

(Mit 2 Textfiguren.)

(Vorgelegt in der Sitzung am 11. Juli 1912.)

Im nachstehenden finden sich die Resultate der im Jahre 1911 ausgeführten Arbeiten über die Radioaktivität der Mineralquellen Tirols zusammengestellt.

Zur Bestimmung der Radioaktivität dienten das Engler'sche Fontaktoskop² sowie das Fontaktometer³ von Mache und Meyer.

Die in den Tabellen angegebenen Zahlen geben den für 1 l Wasser direkt ermittelten oder, da in Fällen geringere Wassermassen benutzt wurden, den für 1 l umgerechneten Potentialabfall in Volt pro 1 Stunde unter Berücksichtigung des Normalverlustes und der im Versuchswasser zurückgebliebenen Emanation an.

¹ Monatshefte für Chemie, 29, 317 (1908); 31, 221 (1910); 32, 797 (1911).

² Kapazität der Elektroskope Nr. 2220 und 2211: 13·9 und 13·4.

³ Kapazität des Elektroskops Nr. 2733 betrug 10·8.

Ortlichkeit	Datum der Entnahme des Wassers	Nähere Angabe des Ortes der Entnahme des Wassers und Bezeichnung der Quelle	Temperatur in Celsiusgraden	Gestein	Potentialabfall	Macheinheiten $i \times 10^3$
					in Volt minus Normalverlust pro Liter und Stunde	
Venetberg Klockernwald oberhalb Wenns	1911	Trinkwasserquelle nächst der Venetalpe.....	—	Glimmerschiefer	77·1	0·92
	12. VIII.	Schlotterbrunnen	5·0	»	346·3	4·4
	15. »	Quelle oben am schrägen Weg	11·7	»	29·8	0·4
	15. »	Quelle oberhalb des Klockerbodens	5·0	»	272·7	3·5
	15. »	Quelle bei der Kälberhütte	5·0	»	307·5	4·0
	15. »	Quelle im Walde ob der Reitwies	5·5	»	435·6	5·6
	15. »	Quelle beim Thomas Will	7·0	»	57·6	0·74
	18. »	Stifterquelle	7·0	Dolomit	144·0	1·84
	18. »	Eustachiusquelle	9·0	»	175·7	2·26
	24. »	Quelle am Ufer der Pitz zwischen Schön und Schönlarich	8·5	Hornblendschiefer	169·0	2·18
Obsteig Mieminger Plateau	»	Dorfbrunnen	6·0	Glimmerschiefer	82·6	1·0
	Auf der Schön-Schönarch-Kräbichl	Pitztal	»			

Imsterau	Oberinnatal	27. >	Brunnen beim Plungerhaus	10·0	Dolomit	1219·7	15·7
		1. IX.	>	10·0	* Dolom. Kalk	1376·4	17·7
		27. VIII.	Quelle auf der Wiese	11·0	* Dolom. Kalk	85·9	1·1
		27. >	Brunnen im Unterhof 1	9·0	* >	2071·2	26·7
		1. IX.	>	9·0	* >	2305·4	29·7
		27. VIII.	Quelle beim oberen Plungerhaus.	11·0	Quarzknoten	189·0	2·4
		1. IX.	Ziehbrunnen beim Plunger	13·0	—	149·7	1·92
		21. >	I. Quelle von rechts ²	6·0	Phyllit	295·4	2·95
		21. >	II. >	6·0	>	225·6	2·25
		8. X.	I. >	7·0	>	427·3	5·5
		8. >	II. >	7·0	>	524·0	6·7
		8. >	Quelle am Wege zur Gstaimerschlucht	7·0	>	678·8	8·7
Gstamerschlucht	Villnößtal	21. IX.	I. Starke Eisenquelle	—	Quarzitschiefer	2679·0	34·5
		21. >	I. >	5·0	>	2679·0	34·5
		23. >	I. >	5·0	>	2325·3	36·3
		8. X.	I. >	6·0	>	2538·2	32·7
		21. XI.	I. >	—	>	3343·0	43·05
		—	—	—	—	—	—
		—	—	—	—	—	—

¹ Die Quelle entspringt am Fuße des Kogelberges. Aus der geologischen Karte ist zu entnehmen, daß der Burgstall und dessen Abhang gegen den Inn (Arzler Wald) aus triadischen Kalken und Liaskalke besteht, welche beide am Südabhang des Burgstall an untere Trias und schließlich an Quarphyllit stoßen.

² Die rotbraun gefärbten Quellsätze enthalten viel Mangan und liefern beim Behandeln mit Salzsäure Chlor.

Örtlichkeit	Datum der Entnahme des Wassers	Nähere Angabe des Ortes der Entnahme des Wassers und Bezeichnung der Quelle	Temperatur in Celsiusgraden	Gestein	Potentialabfall in Volt minus Normalverlust pro Liter und Stunde	Macheinheiten $i \times 10^8$
Villnößterschlucht	Villnößtal	1911 22. IX.	II. Stark e Eisenquelle 1, 2	6·0	Graphit-quarzit ³	6545·4
		8. X.	II. >	6·0	>	7408·3
		3. XI.	II. >	5·0	>	6407·0
		3. >	II. >	5·0	>	6231·1
		15. >	II. >	4·5	>	6074·0
		>	II. >	4·5	>	8529·2
		15. >	II. >	—	—	85·3
		21. IX.	Kreßwasser	—	—	211·4
		21. >	Quellwasser	—	Phyllit	2·7
		8. X.	Eisenquelle A ⁴	5·0	>	298·0
Flitzerschlucht	Flitzertal		B ⁴	5·0	>	7·23
			C ⁴	6·0	>	185·1
			D ⁴	—	>	183·8
		26. XI.	Quelle des Gasthauses zur Sachsenklemme	—	>	211·8
	Eisacktal	3. X.	Trinkwasserquelle der Fabrik Josef v. Prez	9·0	Granit	118·0
Grasstein		3. >	v. Prez	9·0		172·5
						2·2

Mittewald	Eisacktal	3. X.	Quelle bei der Kirche	8·0	Granit	162·6	2·1
Oberau bei Franzens- feste	"	3. "	Trinkwasserbrunnen des Gast- hauses beim Seebier	7·0	Schuttkegel von grobkörnigem Diorit, eratischer Granit und Phyllit, Glimmer- schiefer	33·1	0·4
Brixener städtische Trinkwasserquellen in Spiluck	Schalderertal	4. X.	Quelle auf Grundparzellen 2778, 2779	5·0	Diorit	427·0	5·5
"	"	4. "	Quelle auf Grundparzelle 2778	5·0	"	504·2	6·5
"	"	4. "	Grundparzelle 2786/2	5·0	"	372·9	4·8
"	"	4. "	2786/2	5·0	"	120·0	1·5
Spiluck	"	4. "	Quelle bei der Steinwiesalpe	5·2	"	0·0	0·0
"	"	4. "	Quelle am Bach nordöstlich der Steinwiesalpe (Höhe 1500 m) ..	5·8	grobkörniger Diorit	27·7	0·36

1 Prof. H. Mache hatte die Güte, mit dem Wasser der II. starken Eisenquelle (gesammelt am 3. und 15. November) Emanationsbestimmungen mit dem Zirkulationsapparat auszuführen und erhielt für diese den Wert von 78·8 Einheiten.

2 Herr Oberleutnant Burian hatte die Güte, die quantitative Analyse des Wassers der II. starken Eisenquelle vorzu-
nehmen. — In 10.000 Teilen sind enthalten: Trockenrückstand 1·17 g — $\text{Fe}_2\text{O}_3 + \text{Al}_2\text{O}_3 + \text{P}_2\text{O}_5$ 0·04, MnO 0·01, CaO 0·15,
 MgO 0·17, Na_2O 0·07, SiO_2 0·12, SO_3 0·398, geringe Mengen von Kohlensäure. — Der aus dem Quellwasser abge-
schiedene rotbraune Absatz ist in Salzsäure zum größten Teile löslich und enthält viel Eisen und Mangan sowie geringe
Mengen von Phosphorsäure und liefert beim Behandeln mit Salzsäure Chlor. Die Resultate der genaueren Untersuchung dieses
Sedimentes werden in einer späteren Abhandlung mitgeteilt werden.

3 Die petrographische Schilderung folgt auf p. 419.

4 Die rotbraun gefärbten Quellabsätze enthalten viel Mangan und liefern beim Behandeln mit Salzsäure auch Chlor.

Ortlichkeit	Datum der Entnahme des Wassers	Nähere Angabe des Ortes der Entnahme des Wassers und Bezeichnung der Quelle	Temperatur in Celsiusgraden	Gestein	Potentialabfall in Volt minus Normalverlust pro Liter und Stunde	Macheinheiten $i \times 10^3$
Spülk	Schaldertal	4. X.	Quelle am Wege unterhalb des Gostnerbauers	7·6	Diorit	0·0
	*	4. »	Quelle am Wege von Spülk nach Vahrn.....	9·0	Phyllit	0·0
Knappenloch	*	28. XII.	Quellen im Endstollen und Hauptstollen	8·0	*	751·0
	*	26. VIII.	Quelle bei der Sennhütte auf der Bergeralpe	6·8	Quarzititischer Phyllit	120·2
Steinach am Brenner	Wipptal	26. »	Quelle im Walde neben der Bergeralpe	5·8	Dolom. Kalk Quarzit	58·9
	*	27. »	Trinkwasserquelle für den Steindhof	8·9	—	43·7
	*	27. »	Trinkwasserquelle von Pion bei Steinach	6·6	Quarzitschiefer	1093·5
	*	27. »	Quelle der Steinacher Wasserleitung am Nößlacherjoch	6·3	aus Kalk	77·8
	*	27. »	Quelle am Waldwege oberhalb der Pioner Trinkwasserquelle	4·9	*	170·3
	*	27. »				2·11

»	»	»	»	»	Quarzitischer Phyllit	0·52
»	»	»	»	»	174·2	2·2
»	»	»	»	»	—	—
Stafflach bei Gries am Brenner	27.	»	Quelle auf der Almwiese ober der Pionier Trinkwasserquelle	7·7	—	2·6
	27.	»	Quelle auf der Wiese am Wege nach Trins innerhalb des Herrn- wasseri	7·7	—	—
	28.	»	Quelle in der Wiese am Steige von Stafflach nach Nößlach	8·8	—	—
Nößlach bei Gries am Brenner	28.	»	Quelle des Ortsbrunnens 1	8·0	aus Phyllit	10·2
	28.	»	Quelle ober der Trinkwasserquelle von Nößlach	8·8	»	81·2
	»	»	Eisenquelle	6·1	Kalk	62·3
Sextental	21.	»	Schwefelquelle	6·0	»	—
	21.	»	Magenquelle	7·4	»	46·4
Bad Moos	»	»	Augenwasser (neben der Magen- quelle)	6·2	»	46·0
	»	»	Jungbrunnen	6·5	»	63·3
Pusterthal	23.	»				0·78
Bad Junghünn bei Dölsach						

¹ Gegenüber den Messungen des Vorjahres weisen die beiden Trinkwasserquellen von Plon und Nößlach eine etwas höhere Temperatur und Radioaktivität auf, was eine Folge des übermäßig heißen und niederschlagsarmen Sommers 1911 sein dürfte (vgl. III. Mitteilung, p. 12).

Ortlichkeit	Datum der Entnahme des Wassers	Nähere Angabe des Ortes der Entnahme des Wassers und Bezeichnung der Quelle	Temperatur in Celsiusgraden	Gestein	Potentialabfall in Volt minus Normalverlust pro Liter und Stunde	Macheinheiten $\times 10^3$
Bad Leopoldsruh ¹ bei Lienz	1911 24. VIII.	Augenbrunnl (Eisenquelle)	9·0	Glimmerschiefer	210·6	2·6
	>	Leopoldsbrunnen	7·4	>	90·6	1·12
	>	Quelle neben dem Augenbrunnl	10·4	>	32·2	0·40
	>	Trinkwasserquelle	8·4	>	402·2	5·0
	>	Badequelle ²	6·3	Quartzphyllit	18·8	0·23
	>	Trink- und Badequelle des Gathauses (linkes Drauufier)	8·3	Gneisphyllit	212·3	2·6
Bad Weißlahnbrunn bei Sillian	>	Kleine Quelle hinter dem Gathause (linkes Drauufier)	9·4	>	297·1	3·7
	>	Alte Badequelle ³ (rechtes Draufer)	8·9	Kalk	0·0	0·0
	>	Brunnen neben dem Hause (im Wäldchen)	10·4	Gneisphyllit	100·0	1·24
	>	Walburgaquelle (Badequelle)	6·0	aus Sand über Quartzphyllit	23·2	0·29
Bad Waldbrunn bei Welsberg	25.	Quelle hinter dem Hause	8·0	>	31·1	0·39
	>					

»	Bad Ratzes am Schlerm	Eisacktal	25. »	Quelle neben dem Teiche.....	8·8	"	45·5	0·56
			10. VI.	Trinkwasserquelle nach Seis außerhalb des Bades (am Wege).....	5·8	Augitporphyr (in Blöcken)	127·4	1·58
	Bad Cavelontë bei Panchia	Fleimstal	11. »	Eisenquelle	6·0	Melaphyr	1438·3	17·8
			8. IX.	Trinkwasserquelle	7·9	Quarzporphyry	54·1	0·67
			»	Eisenquelle: ⁴				
			8. »	a) Süßer Tropfen	6·5	Quarzit	259·5	3·2
				b) Herber Tropfen	6·5	"	231·6	2·9

¹ Das Gestein, in dem die Quellen ihren Ursprung haben, ist graubräunlich, von ziemlich feinkörnigem Gefüge, es scheint an manchen Stellen in Tonschiefer überzugehen und ist von zahlreichen Eisenoxydadern durchzogen. Chemische Analyse des Leopoldsbrunnen und Augenbrunnels von J. Oellacher in Innsbruck (Franz Keil, Das Mineralbad Leopoldsruhe nächst Lienz in Tirol. Wagner, Innsbruck 1856).

² Chemische Analyse von Prof. Leobisch, Innsbruck 1904 (Prospekt des Bades Weitlanbrunn).

³ Die alte Badequelle wurde im Jahre 1882 verschüttet und ist seitdem nicht mehr in Verwendung. Sie entsprang jenseits der Drau (rechtes Ufer), etwa 200 m ober der Talsohle; die genaue Ursprungsstelle konnte nicht mehr angegeben werden.

⁴ Die Eisenquelle entspringt an mehreren Stellen im Hintergrund eines alten Bergwerksstollens. Das von den Wänden des Stollens abtropfende Wasser wird in Blechtrannen gesammelt und mittels einer eigenen Drahtseilbahn zum Badehaus hinunter befördert. Man unterscheidet nach dem Geschmacke des Wassers mehrere sogenannte »Tropfen«, namentlich einen »süß« und einen »herben«. Analyse von Prof. F. Selmi, Bologna 1864 (Leonardi, Analisi dell'Acqua Ferruginosa di Cavelontë, Cavalese 1868). Nach Zehenter, Die Mineralquellen Tirols, p. 41, soll von Selmi noch eine neuere Analyse aus dem Jahre 1880 existieren, welche jedoch in der Abhandlung Leonardi's nicht erwähnt wird. Beide Analysen stimmen genau überein.

Ortlichkeit	Datum der Ent- nahme des Wassers	Nähere Angabe des Ortes der Entnahme des Wassers und Bezeichnung der Quelle	Tem- peratur in Celsius- graden	Gestein	Potentialabfall in Volt minus Normalverlust pro Liter und Stunde	Maße- einheiten $i \times 10^3$
Maderno bei Trient	1911	Quelle der Villa Maria	13.2	Kalk	49.3	0.61
Bergwerk Raben- stein 1	2. XI. 14. V.	Quelle im Karlsstollen	10.0	Phyllit	468.4	5.8
Bad Schörgau bei Sarnthein	6. VI.	Badequelle	6.7	Porphyrit	262.7	3.3
Sarnthein	6. *	Trinkwasserquelle	5.5	Quarzporphyrit	160.6	2.1
	5. *	Lungwasser am Runggenberg . .	4.8	Quarzphyllit	29.5	0.37
	5. *	Morgenbrunnl am Runggenberg.	5.9	*	206.3	2.6
	5. *	Griesbrunnl am Kurweg nach Nord- heim	7.8	*	383.8	4.76
	6. *	Griesbrunnl am Kurweg nach Nord- heim	7.7	*	376.0	4.66
	5. *	Untere Quelle am Kurweg nach Nordheim	7.6	*	139.2	1.73
	6. *	Quelle der Trinkwasserleitung hinter Schloß Reineck	7.3	Quarzporphyrit	112.3	1.39
Öttenbach bei Sarn- thein	15. X.	Trinkwasserquelle beim Köbel . .	7.5	Phyllit	328.6	4.1

Tschatter bei Sarn-	15.	»	Trinkwassergquelle in der Tschatter	4·2	Quarzporphyrr	81·0	1·0
thein	»		Magenwasser (rechte Bachseite) ..	4·6	Porphyrtuff (stark zersetzt)	428·7	5·3
Öttenbuch	»		Leberwasser (linke Bachseite)	7·0	Quarzporphyrr (an der Grenze gegen Phyllit)	404·1	5·0
	»		Lungiwasser (unweit vom Leber- wasser auf derselben Bachseite)	7·0	Phyllit	226·9	2·8
Kreuzjöchl	15.	»	Quelle am Kreuzjöchl ² (Meraner Seite)	5·2	Grödner Sand- stein (auf Porphyrr)	633·1	8·1
Sarnthein	19. XI.	»	Quelle beim Stoufen in Steet	9·0	Porphyrr	140·4	1·74
	»		Quelle auf der Tolcherwiese	8·0	—	74·0	0·92
Jenesien	19.	»	Quelle beim Ruep	9·8	Porphyrr	56·0	0·69
am Salten	3. XII.	»	Quelle ober dem Locher am Salten (Wasserleitungssquelle)	7·1	Grödner Sand- stein	166·4	2·1
Mölten	3.	»	Quelle beim Gschmoferstall am Salten	7·5	—	220·6	2·7
	3.	»	Quelle beim Hofe Pathoi am Salten	7·5	—	128·8	1·60

¹ Bergbau auf silberhaltigen Bleiglanz und Zinkblende (mit Flußpat) im Phyllit; darin der Haupbruchspalte und den Erzgängen parallele Diabasporphyritgänge (Blaas, Geologischer Führer durch die Tiroler und Vorarlberger Alpen, p. 601, 602).

² Die Quelle entspringt unmittelbar unterhalb des Kreuzjöchls auf der Seite gegen Halling in nahezu 2000 m Höhe.

Ortlichkeit	Datum der Entnahme des Wassers	Nähere Angabe des Ortes der Entnahme des Wassers und Bezeichnung der Quelle	Temperatur in Celsiusgraden	Gestein	Potentialabfall in Volt minus Normalverlust pro Liter und Stunde	Maßeinheiten $i \times 10^3$
Schlaneid Mölten	bei Mölten am Salten 3. XII.	Schwefelquelle beim Kastner ¹	8·5	—	61·0	0·76
Vöran	> > 3. >	Kiendlbrunnen beim Bacher	6·7	fleischroter Quarzporphyry	632·6	7·8
"	> > 3. >	Quelle beim Stern im Bach	8·7	Quarzporphyry	182·5	2·3
Burgstall bei Meran	21. X.	Quelle beim Schulhause in Vöran	9·2	>	346·2	4·3
	" " "	Quelle beim Bacherle	13·5	>	328·3	4·1
	" " "	Quelle beim Ochsenkofler (Wasserleitungssquelle)	10·0	>	48·4	0·60
	" " "	Quelle hinter der Kirche (Wasserleitungssquelle)	12·6	>	76·1	0·94
Bergwerk in Terlan	4. III.	Quelle beim Fischerle	12·5	>	117·5	1·46
	" " "	Grubenwässer:				
	a) Quelle im Querschlag des St. Helena-Stollens I	16·6	Quarzporphyry mit Blei- und Zinkerzgängen	282·0	3·5	
	b) Wasser von Überbau II im St. Helena-Stollen I	15·0	*	106·7	1·32	

Moritzing bei Bozen	Etschtal	22. IV.	Schwetquelle ²	12·3	Quarzporphyr	170·4	2·1
St. Christina	Grödental	29. X.	Quelle überm Bach bei St. Christina (Wasserleitungsquelle zu einem einzelnen Brunnen)	5·6	Augitporphyr	163·2	2·0
		>	Quelle bei Haus Nr. 137 (linke Talseite)	6·0		22·5	0·28
St. Ulrich	*	29.	Quelle an der Grödnerstraße vor km 10	6·0	Quarzporphyr	251·3	3·1
	*	*	Quelle an der Grödnerstraße beim Hause des Joh. Solder	6·9		158·6	2·0
	*	*	Quelle an der Grödnerstraße vor km 3 (rechte Talseite)	11·0	sericitischer Phyllit	71·8	0·89
Waiblbruck	*	29.	Quelle an der Grödnerstraße vor km 1 (linke Talseite)	9·8	Quartzphyllit	149·7	1·86
	*	*					

¹ Die Quelle entspringt auf einer Wiese und stand früher für ein »Schwefelbad« in Verwendung, das heute aufgelassen ist.

² Die Quelle soll schon seit alter Zeit als heilkraftig bekannt sein. Im heurigen Jahre wurde dortselbst ein neues Schwefelbad errichtet.

Tscherm's bei Lana	*	19. XII.	Quelle beim Haid in Vordertal	10·1	aus Schotter	88·2	1·09
* *	*	19.	Quelle beim Haid in Hintertal (bei Schloß Lebenberg)	—	*	263·6	3·3
* *	*	19.	Taufehof, Badequelle ³ (Eisen- quelle)	—	zersetzter Phyllit	127·0	1·58
* *	*	19.	Taufehof, Trinkwasser bei der Tschött	—	Phyllit	266·3	3·3
* *	*	19.	Schreiberhof, Wasserleitungs- quelle ⁴ (Wasser entnommen dem Eintaufrohre im Quellschacht) ..	10·8	Granit (Tonalt)	3265·2	40·5
* *	*	19.				2982·6	37·0

1 Damit wird das in der II. Mitteilung (p. 13) enthaltene Ergebnis einer höheren Radioaktivität des Wassers von der Quelle (a) richtiggestellt. Damals wurde das Wasser beim Stollenabschluß in die Kanne eingefüllt, wobei sich dieselbe auch mit aktiver Stollenluft anfüllte und dadurch ein rascher Potentialabfall hervorgerufen wurde. Zudem war die Aufstellung des Apparates am Stolleneingang (in Erwägung eines anderen geeigneteren Platzes) eine besonders ungünstige, weshalb diese neue Messung im Laboratorium vorgenommen und auf den Anfangswert zurückgerechnet wurde. Die Radioaktivität der Stollenluft wurde an Ort und Stelle zu 71·4 Volt pro 1 l Luft ermittelt.

2 Analysen scheinen nicht vorhanden zu sein (siehe auch Zehenter, I. c., p. 50). Die Quellen versiegen im September und kommen im Mai wiederum zum Vorscheine.

³ Identisch mit dem bei Zehenter, I. c., p. 122, angeführten Bade »Taufeier Hof«, welcher nicht, wie dort angeführt, zur Gemeinde Marling, sondern zu Tscherm's gehört.

⁴ Ein Teil des Wassers entspringt im Hintergrunde des Quellschachtes direkt aus dem Fels (Granit); ein anderer Teil läuft von der (unzugänglichen) Ursprungsstelle durch ein zirka 10 m langes Eisenrohr mit mäßigem Gefälle in den Quellschacht ein, wo es für die Messungen entnommen wurde.

Ortslichkeit	Datum der Entnahme des Wassers	Nähere Angabe des Ortes der Entnahme des Wassers und Bezeichnung der Quelle	Temperatur in Celsiusgraden	Gestein	Potentialabfall in Volt minus Normalverlust pro Liter und Stunde	Macheinheiten $i \times 10^3$
Tschermis bei Lana	Etschtal 1911 22. XII.	Schreiberhof, Wasserleitungsquelle (Wasser entnommen dem Einlaufrohre im Quellschacht) ...	10·9	Granit (Tonalit)	3047·2	37·8
	*	*	10·9	*	2919·2	36·2
	*	*	10·9	*	3209·5	39·8
	*	*	11·9	*	3094·0	38·4
	*	*	11·9	*	2919·0	36·2
	*	*	11·9	*	3015·3	37·4
Nesselbrunn bei Oberbozen Bozen	Sartatal 18. IV.	Nesselbrunnen	4·5	Quarzporphyry	23·9	0·30
	Eisacktal 12. X.	Kühles Bründl	10·7	*	1792·7	22·2
	*	*	10·7	*	1473·9	18·3
	14. XI. ¹	*	10·6	*	1634·0	20·3
	*	*	10·6	*		
	21. XII.	*	10·6	*		

¹ An dem der Messung vorangehenden Tage fiel starker Regen.

Herr Assistent R. Grengg hatte die Güte, die petrographische Untersuchung des Gesteins, aus dem die II. starke Eisenquelle entspringt, vorzunehmen und teilt darüber nachfolgendes mit:

»Die mir zwecks einer näheren petrographischen Untersuchung übergebenen Proben eines sehr festen, feinkörnigen, grauschwarzen Gesteines können als Graphitquarzit bezeichnet werden. Das Material entstammt einer und derselben Lokalität im Villnößtale. Wegen der dort herrschenden geologischen Verhältnisse wird auf die Angaben Prof. Rosiwal's in der Arbeit von M. Bamberger, Beiträge zur Kenntnis der Radioaktivität der Mineralquellen Tirols (Monatshefte für Chemie, 29, 329 ff. [1908]), verwiesen.

Da die vorgelegten Proben sowohl im Handstück als im Dünnschliff keine wesentlichen Unterschiede zeigten, genügt eine zusammenfassende Charakteristik des Gesteines.

Bei makroskopischer Betrachtung ist von Schieferung wenig zu bemerken, die Struktur ist beinahe richtungslos körnig und auch bei Zuhilfenahme der Lupe fällt es schwer, das Gesteinsgewebe in die einzelnen Mineralkomponenten aufzulösen. Auf frischen Bruchflächen zeigt sich matter Fettglanz; Quarzadern sowie zahlreiche Klüfte durchsetzen das Gestein, die letzteren bedingen den ziemlich leichten Zerfall in polyedrische und plattige Stücke beim Anschlagen. In einer größeren derben Quarzpartie, die sich unter dem Untersuchungsmaterial befand, war Pyrit, zum Teil in Limonit umgewandelt, eingesprengt. Auch auf den Klüften zeigen sich dünne Überzüge von Pyrit oft mit schönen Anlauffarben, gewöhnlich aber auch noch weiter zu Eiseoxydhydrat zersetzt. Auch dünne Häutchen von gemeinem Opal, sowie lockere, zum Teil aus Kieselsäure bestehende Anflüge sind häufig.

Im Dünnschliff zeigten sich als Mineralbestand vorwiegend Quarz, daneben opake, feinkörnige bis krümmelige Massen, ferner farbloser Glimmer und ab und zu eingestreut ein stark gerundetes Zirkonkryställchen. Die Struktur ist undeutlich schieferig-flaserig.

Der Quarz zeigt häufig undulöses Auslöschen, die einzelnen Körnchen (Korngröße im Durchschnitte 0·15 mm)

schließen dicht aneinander und greifen auch mit zackiger Kontur ineinander.

Als Einschlüsse lassen sich im Quarz bei starker Vergrößerung staubartige, stellenweise gehäufte Körnchen von hoher Lichtbrechung und gelbbrauner Farbe wahrnehmen, desgleichen feine, gleichfalls stark lichtbrechende Stäbchen. Diese Einschlüsse dürften mit Rutil und Titanit identisch sein.

Die opaken Gemengteile, die besonders um die Quarzkörper angereichert sind, bestehen zumindest aus drei verschiedenen Mineralien, was sich im auffallenden Lichte (bei Ausschaltung der Untenbeleuchtung) gut erkennen lässt. Die graphitische Substanz, welche an Menge überwiegt, zeigt tief schwarze Farbe und geringen Glanz, das in geringer Quantität vorhandene Erz, welches mit Pyrit identifiziert werden konnte, zeigt Bronzeschimmer sowie öfters quadratische Durchschnitte. Eine dritte, nicht ganz undurchsichtige Substanz ist in einzelnen Flecken, die im auffallenden Licht eine schmutziggraue bis bräunliche Farbe zeigen, über den Schliff verstreut. Bei sehr starker Vergrößerung lassen sich diese Flecke, im durchfallenden Lichte betrachtet, randlich in eine Anhäufung von kleinen, eirunden, stark lichtbrechenden und doppelbrechenden Körnchen und staubartigen, bräunlichen, gleichfalls stark brechenden Partikeln auflösen. Diese Aggregate dürfen mit Leukoxen ident sein und stellen darnach Pseudomorphosen von gewöhnlich vorwiegendem Titanit nach Titan-eisen vor.

Der Gehalt des Gesteines an Titansäure wurde auch chemisch nachgewiesen durch Aufschließen desselben mit Kaliumhydrosulfat und Behandeln der gelösten Schmelze mit Wasserstoffsuperoxyd. Auch die graphitische Substanz wurde auf chemischem Wege durch Behandeln des Gesteinspulvers mit einem Gemische von rauchender Salpetersäure und Kaliumchlorat nachgeprüft, wobei die für den Graphit charakteristischen Zersetzungprodukte erkannt werden konnten. Der Pyrit ging bei Behandeln des Pulvers mit Salpetersäure in Lösung; auf den gewöhnlichen Stahlmagneten wirkende Erze wurden nicht gefunden.

Der im Gestein vorhandene Muskovit ist stellenweise zu gestreckten, kurzen Flasern angeordnet, hauptsächlich finden sich im Schliffe nur die kurzen, leistenförmigen Schnitte senkrecht zur Spaltfläche. An manchen Stücken des Gesteines (Graphit-Quarzit) finden sich braungelbe Krusten, wohl aus dem Wasser stammend, welche in letzterem spurenweise, in Salzsäure teilweise

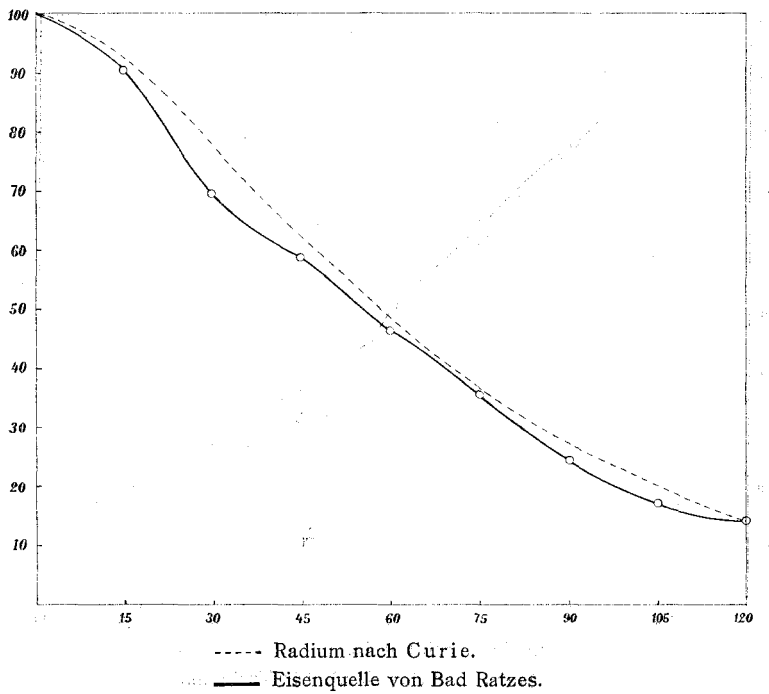


Fig. 1.

löslich sind. Die wässrige Lösung enthält Ferrisulfat. Außerdem finden sich in dem Absatz in größerer Menge Eisen, Aluminium und Kieselsäure, in geringerer Menge Kupfer, Calcium, Schwefelsäure und Phosphorsäure, in Spuren Zinn, Schwefel und Mangan.

Die Eisenquelle von Bad Ratzes wurde im heurigen Jahre nochmals untersucht, nachdem die verschüttete Quelle freigelegt wurde und das Wasser direkt an der Ursprungsstelle entnommen werden konnte; dementsprechend ist auch die

Radioaktivität eine etwas größere als auf Grund der Messung des Vorjahres berechnet wurde¹ (vgl. III. Mitteilung, p. 806 und 812). Das Quellwasser fließt in Holzröhren mit starkem Gefälle zum Bade hinunter und verliert dadurch seinen Gehalt an Radioaktivität fast vollständig, indem eine Messung mit Wasser des Brunnens hinter dem Badehause nur 0·07 Mache-Einheiten ergab. Diesmal wurde auch die Abklingung

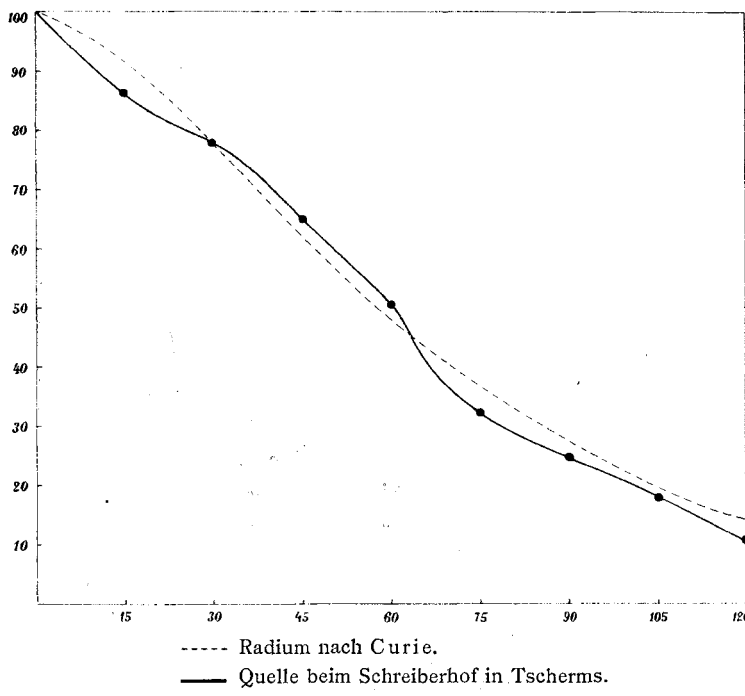


Fig. 2.

der induzierten Aktivität gemessen und darnach die Abklingungskurve (Fig. 1) gezeichnet.

Die stark radioaktive Trinkwasserquelle vom Schreiberhof in Tschermes bei Lana entspringt aus dem Tonalitstocke, der am Eingange des Ultentales auf beiden Talseiten hervortritt und von der Gaulschlucht durchbrochen wird. Die Ergiebigkeit der Quelle beträgt zirka 14 l in der

¹ Monatsschriften für Chemie, 32, 806 (1911).

Minute; die eine Hälfte ($6\frac{1}{2}$ Minutenliter) fließt von der Ursprungsstelle durch eine Röhre in den Quellschacht ein, die andere Hälfte entspringt aus der Rückwand des in Fels gehauenen Schachtes. Die Radioaktivität beider Quellwässer ist ungefähr eine gleiche. Die geologischen Verhältnisse des Gebietes schildert Blaas¹ folgendermaßen:

»Südlich von Meran streicht vom Gampenjoch über Platzers nach Mitterlana, dann unter der Etschtalsohle zur Naifschlucht und von hier über den Naifpaß in den Sägebach eine Bruchlinie. Dieselbe trennt das Porphyrgebirge mit den aufgelagerten permotriadischen Sedimenten von den nordwestlichen krystallinen Schiefern. Letztere setzen in nordöstlich streichenden Falten vom Marlingerberge über die Etsch an den Küchelberg und den Eingang ins Passeier. Zwischen den krystallinen Schiefern und dem abgesunkenen permotriadischen Gebiete schaltet sich die Tonalitmasse des Ifinger und deren südwestliche Fortsetzung, der Tonalit an der Mündung des Ultentales, ein. Das herrschende Gestein dieser Eruptivmasse ist ein Quarzglimmer-Norit; die zentralen Teile sind hornblenderreicher (Quarzhornblende-Diorit), gegen den Rand wird das Gestein mehr granitisch; in den peripherischen Teilen sind porphyrische und aplitische Gesteinsformen ausgebildet.«

Die Quelle entspringt nahe der Grenze der Tonalitmasse gegen die krystallinen Schiefer des Marlingerberges; im zentralen Teil entspringen überhaupt keine Quellen (Lana, Gaulschlucht).

Die Abklingung der induzierten Aktivität des Wassers zeigt Fig. 2.

Den kommunalen Verwaltungen sowie den Besitzern und Direktoren der verschiedenen Bäder und Kuranstalten danken wir verbindlichst für das freundliche Entgegenkommen, das sie uns bei Ausführung dieser Arbeiten angedeihen ließen.

Zu besonderem Danke sind wir Herrn Oberleutnant J. Burian, sowie Herrn Assistenten R. Grengg verpflichtet.

¹ J. Blaas, I. c., p. 518.